

УДК 624.131.524: 624.151.5

Р.Г. Савенко, д.т.н., професор

Ю.Л. Винников, д.т.н., професор, Р.О. Повзик, магістр
Полтавський національний технічний університет імені Юрія Кондратюка

МОДЕЛЮВАННЯ ВПЛИВУ ВІДВАЛІВ ГІРНИЧО- ЗБАГАЧУВАЛЬНОГО ВИРОБНИЦТВА НА БЛИЗЬКОРОЗТАШОВАНІ СПОРУДИ

За допомогою методу скінченних елементів розглянуто плоску задачу впливу відвалу на деформацію основи під залізничну колію.

Ключові слова: відвал, насип, залізнична колія, деформація, метод скінченних елементів.

Р.Г. Савенко, д.т.н., профессор

Ю.Л. Винников, д.т.н., професор, Р.О. Повзык, магистр
Полтавский национальный технический университет имени Юрия Кондратюка

МОДЕЛИРОВАНИЕ ВЛИЯНИЯ ОТВАЛОВ ГОРНО- ОБАГАТИТЕЛЬНОГО ПРОИЗВОДСТВА НА БЛИЗКОРАСПОЛОЖЕННЫЕ СООРУЖЕНИЯ

С помощью метода конечных элементов рассмотрена плоская задача влияния отвала на деформацию основания под железнодорожную колею.

Ключевые слова: отвал, насыпь, железнодорожная колея, деформация, метод конечных элементов.

R.G. Savenko, DrSc, Prof.

Y.L. Vynnykov, DrSc, Prof., R.O. Povzyk, magistr,
Poltava National Technical Yuri Kondratyuk University

MODELLING THE INFLUENCE OF DUMPS OF MINING-PROCESSING PRODUCTION ON CONSTRUCTIONS LOCATED NEAR BY

Using the finite element method examined a plane problem of influence of dump on deformation basis for railway track.

Keywords: dump, mound, railway track, deformation, finite element method.

Постановка проблеми у загальному вигляді та її зв'язок із важливими практичними завданнями. Сучасний розвиток цивілізації неможливий без використання металів. За даними професора В.І. Крутова [1] при виплавлюванні 1 т заліза утворюється в середньому 1,2 т порожньої породи та 0,9 т шлаку, 1 т міді – відповідно 4,2 т порожньої породи та 30 т шлаку, а для отримання 1 т золота переробляють близько 23 млн т гірської маси. Внаслідок активних гірничо-технічних робіт на поверхні планети накопичився загальний об'єм насипних ґрунтів понад 2000 млрд м³.

Україна – один зі світових лідерів країн-виробників чорних металів, посідаючи сьоме місце за обсягом виробництва сталі й третє за експортом металопродукції [2]. Частка металургії у ВВП країни становить близько 38%, у промисловому виробництві – 27,3%, експорті – 34,2%, а в податкових платежах у всі рівні бюджетів становить 38% [3]. Тому питання, пов’язані з ефективним розвитком і використанням місць видобування і збагачення рудних копалин є важливими. Через інтенсивне використання родовищ виникають проблеми утворення відвалів відпрацьованої породи та їх впливу на споруди, що розташовані поблизу.

Аналіз останніх досліджень і публікацій, у яких розглянуто можливості розв'язання проблеми. Вплив нової забудови на напружене-деформований стан (НДС) основ і фундаментів існуючих будівель і споруд у геотехніці оцінюють як інженерними [4, 5], так і чисельними (з використанням розв'язань плоских і просторових задач методом скінченних елементів (МСЕ) у нелінійній постановці [6, 7]) методами.

А от особливості оцінювання НДС основ відвалів гірничо-збагачувального виробництва мало розглядаються в сучасній геотехнічній літературі. Головна увага в них приділяється розрахунку з використанням МСЕ стійкості відвалів, зокрема: відходів вугільної промисловості – M. Fuchsschwanz [8]; відходів промисловості та вторинної сировини – I. Vanicek та M. Vanicek [9]; армованих насипів автомобільних доріг – А.А. Коршунов та ін. [10] тощо.

Виділення не розв'язаних раніше частин загальної проблеми, котрим присвячується зазначена стаття. Отже, проблеми впливу відвалів гірничо-збагачувального виробництва на деформації розташованих поблизу них споруд, наприклад, залізничної колії, кількісні залежності цього впливу від геометричних розмірів відвалу та геотехнічних властивостей масиву, питання вибору адекватної моделі ґрунту основи споруд і насипів є відносно новими.

Тому за мету роботи прийнято дослідження МСЕ в плоскій постановці впливу різних за висотою (10; 20; 30; 40; 50 м) відвалів гірничо-збагачувального виробництва на деформації основи розташованої поблизу залізничної колії, а також осідання основи самого відвалу, використовуючи достатньо апробований програмний комплекс Plaxis 2D. При цьому розрахункові параметри матеріалу самого відвалу є сенс задавати за трьома різними моделями (Мора – Кулона, еластичною й у вигляді рівномірно розподіленого навантаження).

Виклад основного матеріалу досліджень. Відвал гірничо-збагачувальної промисловості, за фактичними параметрами якого здійснено описане нижче моделювання, розташований в межах майданчика зведення комплексу крупного дрібнення №3 на ВАТ «Полтавський ГЗК» поблизу м. Комсомольськ Полтавської області. З геоморфологічної точки зору ця територія належить до лівобережної Придніпровської низовини, що входить до складу міжріччя річок Дніпро і Псел. Головними чинниками формування рельєфу району є ерозійно-акумулятивні та еолово-делювіальні процеси. Основними геоморфологічними елементами району є річкові тераси, притерасові зниження, заболочені староріччя та озера, піщано-суглинисті підняття і притоки.



Рисунок 1 – Відвал гірських порід і залізнична колія

Техногенні форми рельєфу представлено насипами автодоріг і залізниць (рис. 1), відвалами розкривних порід, водовідвідними каналами тощо.

Інженерно-геологічні характеристики елементів майданчика зведені до табл. 1. Рівень ґрутових вод на ділянці становив 2,2 м від земної поверхні.

Таблиця 1 – Інженерно-геологічні характеристики елементів

| Номер шару | Назва шару | Товщина шару, м | Питома вага ґрунту, кН/м ³ | Модуль деформації Е, МПа | Питоме зчеплення ґрунту с, кПа | Кут внутр. тертя φ, ° | Коефіцієнт фільтрації K _ф , м/добу | Коефіцієнт Пуассона |
|------------|----------------------|-----------------|---------------------------------------|--------------------------|--------------------------------|-----------------------|---|---------------------|
| 1а | Щебінь гранітний | 0.9 | 20.00 | 45 | 1 | 30 | 0 | 0.28 |
| 3 | Супісок жовтий | 1.1 | 18.50 | 6 | 11 | 20 | 0.7 | 0.3 |
| 4 | Пісок світло-сірий | 1.5 | 18.70 | 12 | 1 | 29 | 5 | 0.3 |
| 5 | Пісок сірий | 8.9 | 20.10 | 22 | 1 | 34 | 7.5 | 0.3 |
| 6 | Пісок сірий | 5.2 | 20.20 | 25 | 1 | 36 | 7 | 0.3 |
| 7а | Суглинок темно-сірий | 1.1 | 20.00 | 14 | 29 | 22 | 0.05 | 0.35 |
| 9 | Глина палеогенова | 1.4 | 19.70 | 14 | 48 | 18 | 0.015 | 0.35 |
| 10 | Суглинок темно-сірий | 1.3 | 19.60 | 12 | 22 | 21 | 0.07 | 0.35 |
| 8 | Пісок сірий | 3.6 | 20.80 | 35 | 1 | 38 | 10 | 0.3 |

Чисельне розв'язання поставленої задачі отримано за програмним комплексом PLAXIS 2D, що являє собою пакет прикладних геотехнічних програм для скінченно-елементного аналізу НДС ґрутових масивів. Для моделювання впливу відвалу на деформації основи, розташованої поблизу нього залізничної колії, використана пружнопластична модель Мора – Кулона (Material model: Mohr – Coulomb), що включає в себе п'ять параметрів, які отримують лабораторними випробуваннями: Е – модуль деформації, ν – коефіцієнт Пуассона, φ – кут внутрішнього тертя, с – питоме зчеплення, ψ – кут дилатансії. Прийняті до моделювання характеристики фізико-механічних властивостей ґрунтів представлено в табл. 2.

Таблиця 2 – Властивості ґрунтів і відвалу для моделювання (модель Мора – Кулона)

| Модель Мора – Кулона | Відвал | Щебінь гранітний | Супісок жовтий | Пісок світло-сірий | Пісок сірий | Пісок сірий | Суглинок темно-сірий | Глина палеогенова | Суглинок темно-сірий | Пісок сірий |
|--|--------|------------------|----------------|--------------------|-------------|-------------|----------------------|-------------------|----------------------|-------------|
| Параметри | | | | | | | | | | |
| γ _{unsat} , кН/м ³ | 25 | 20 | 18.5 | 18.7 | 20.1 | 20.2 | 20.0 | 19.7 | 19.6 | 20.8 |
| γ _{sat} , кН/м ³ | 25 | 20 | 18.5 | 18.7 | 20.1 | 20.2 | 20.0 | 19.7 | 19.6 | 20.8 |
| k _x , м/сут | 0 | 0 | 0.7 | 5 | 7.5 | 7 | 0.05 | 0.015 | 0.07 | 10 |
| k _y , м/сут | 0 | 0 | 0.7 | 5 | 7.5 | 7 | 0.05 | 0.015 | 0.07 | 10 |
| E _{ref} , МПа | 80 | 45 | 6 | 12 | 22 | 25 | 14 | 14 | 12 | 35 |
| ν | 0.28 | 0.28 | 0.3 | 0.3 | 0.3 | 0.3 | 0.35 | 0.35 | 0.35 | 35 |
| G _{ref} , МПа | 31.3 | 17.6 | 2.31 | 4.5 | 8.5 | 9.6 | 5.2 | 5.2 | 4.4 | 13.5 |
| E _{oed} , МПа | 102.3 | 57.5 | 8.1 | 16.15 | 29.6 | 33.7 | 22.5 | 22.5 | 19.3 | 47.1 |
| c _{ref} , кПа | 1 | 1 | 11 | 1 | 1 | 1 | 29 | 48 | 22 | 1 |
| φ, ° | 45 | 30 | 20 | 29 | 34 | 36 | 22 | 18 | 21 | 38 |
| ψ, ° | 0 | 0 | 0 | 0 | 0 | 0 | 0 | 0 | 0 | 0 |

Використовуючи пружно-пластичну модель Мора – Кулона, було проведено п'ять циклів моделювань впливу відвалів на деформації основи, кожен з яких мав ширину 100 м, але різну висоту – від 10 до 50 м з градацією у 10 м. Схему з геометричними варіантами відвалів показано на рис. 2.

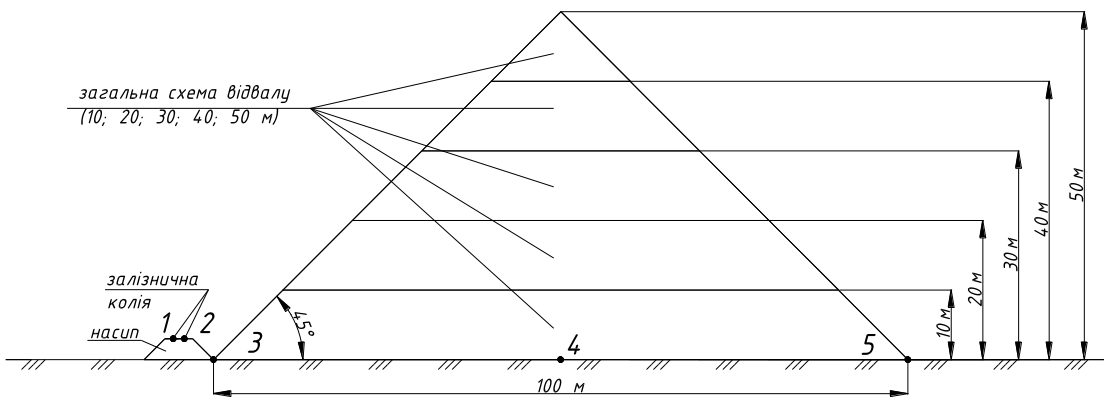


Рисунок 2 – Загальна схема варіантів геометричних параметрів відвалів

Змоделювавши 5 варіантів впливу відвалів на НДС основ у програмному комплексі Plaxis, отримано такі деформації осідання в точці 4 під центром відвалу (рис. 2): при висоті відвалу 10 м – 0,016 м; при висоті відвалу 20 м – 0,035 м (програма припинила розрахунок при навантаженні, яке становило 81,7% від повного); при висоті відвалу 30 м – 0,026 м (розрахунок припинено при навантаженні 35,2% від повного); при висоті відвалу 40 м – 0,28 м (42,5% від повного), при висоті відвалу 50 м – 0,103 м (75,3% від повного).

Відповідні вертикальні та горизонтальні деформації основи залізничної колії (точки 1 і 2) при цих п'яти варіантах показано на табл. 3. Отже, при моделюванні НДС основи відвалу з використанням пружно-пластичної моделі Мора – Кулона спостерігаються значні деформації точок залізничної колії по осі X і доволі малі по осі Y. Це відбувається переважно за рахунок деформацій матеріалу самого відвалу (рис. 3), який втрачає стійкість.

Таблиця 3 – Деформації точок залізничної колії при різній висоті відвалу (модель Мора – Кулона)

| | Деформації по осі X, м | Деформації по осі Y, м |
|-----------------------|------------------------|------------------------|
| Висота відвалу - 10 м | | |
| Точка 1 | -0,11 | 0,0041 |
| Точка 2 | -0,108 | 0,0024 |
| Висота відвалу - 20 м | | |
| Точка 1 | -0,168 | 0,0045 |
| Точка 2 | -0,165 | 0,0024 |
| Висота відвалу - 30 м | | |
| Точка 1 | -0,071 | 0,011 |
| Точка 2 | -0,071 | 0,01 |
| Висота відвалу - 40 м | | |
| Точка 1 | -0,107 | 0,012 |
| Точка 2 | -0,106 | 0,011 |
| Висота відвалу - 50 м | | |
| Точка 1 | -0,293 | -0,0064 |
| Точка 2 | -0,286 | -0,016 |

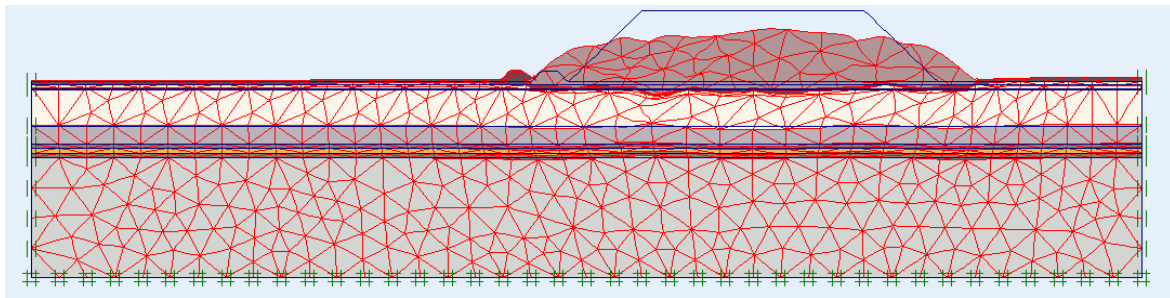


Рисунок 3 – Напружено-деформований стан відвалу (модель Мора – Кулона), висота – 20 м, масштабний коефіцієнт – 1:50

Для другого варіанта моделювання відвалу було використано еластичну модель (Material model: Linear elastic), що включає в себе два параметри, які отримують лабораторними випробуваннями: E – модуль деформації, ν – коефіцієнт Пуассона. Прийняті параметри ґрунтів подано в табл. 4.

Таблиця 4 – Фізико-механічні властивості відвалу для моделювання з використанням еластичної моделі

| Еластична модель | Відвал |
|---|--------|
| Параметри | |
| γ_{unsat} , кН/м ³ | 25 |
| γ_{sat} , кН/м ³ | 25 |
| k_x , м/сут | 0 |
| k_y , м/сут | 0 |
| E_{ref} , МПа | 80 |
| ν | 0.28 |
| G_{ref} , МПа | 31.25 |
| E_{oed} , МПа | 102.3 |

Використовуючи еластичну модель, теж було проведено п'ять аналогічних циклів моделювань МСЕ впливу відвалів на НДС основ. При цьому отримано такі осідання в точці 4 під центром відвалу (рис. 2): при висоті відвалу 10 м – 0,026 м; при висоті відвалу 20 м – 0,087 м; при висоті відвалу 30 м – 0,164 м; при висоті відвалу 40 м – 0,211 м; при висоті відвалу 50 м – 0,236 м. Відповідні вертикальні та горизонтальні деформації залізничної колії (точки 1 і 2) при цих п'яти варіантах відвалів подано в табл. 5.

Таблиця 5 – Деформації точок залізничної колії при різній висоті відвалу (еластична модель)

| | Деформації по осі X, м | Деформації по осі Y, м |
|-----------------------|------------------------|------------------------|
| Висота відвалу - 10 м | | |
| Точка 1 | -0,088 | 0,01 |
| Точка 2 | -0,088 | 0,01 |
| Висота відвалу - 20 м | | |
| Точка 1 | -0,172 | 0,027 |
| Точка 2 | -0,17 | 0,028 |
| Висота відвалу - 30 м | | |
| Точка 1 | -0,239 | 0,036 |
| Точка 2 | -0,234 | 0,034 |
| Висота відвалу - 40 м | | |
| Точка 1 | -0,279 | 0,039 |
| Точка 2 | -0,275 | 0,036 |
| Висота відвалу - 50 м | | |
| Точка 1 | -0,293 | 0,039 |
| Точка 2 | -0,288 | 0,036 |

Отже, при моделюванні НДС основи відвалу з використанням еластичної моделі, як і при застосуванні моделі Мора – Кулона спостерігаються значні деформації точок

залізничної колії за віссю X і доволі малі за віссю Y. Цей ефект теж відбувається переважно за рахунок деформації матеріалу самого відвалу (рис. 4), який втрачає стійкість.

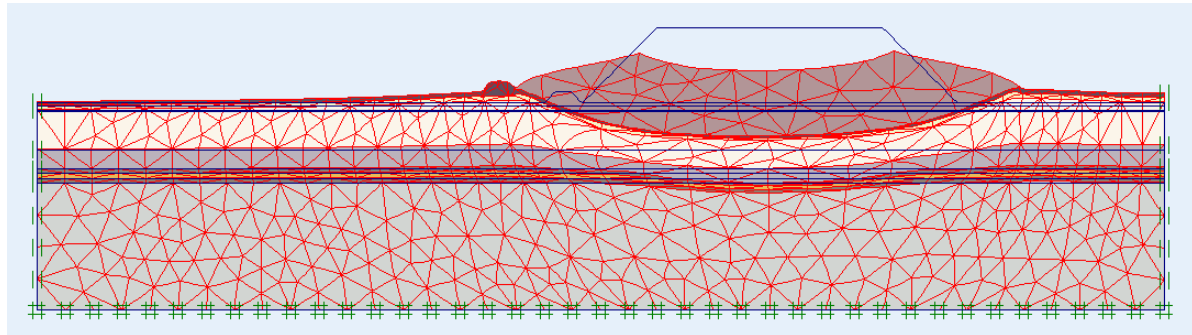


Рисунок 4 – Напружено-деформований стан відвалу (еластична модель), висота – 20 м, масштабний коефіцієнт – 1:100

Оскільки дві перші моделі не задовольняють вимогам досліджень, то провели моделювання, де відвали були задані розподіленим навантаженням. Відвал розбивався на 3 частини тіла: прямокутник і два трикутники. Навантаження під трикутниками задавалося дещо спрощено – як відношення ваги тіла на площину, яку він займає, тобто як середній тиск (при висоті відвалу 10 м – 125 кПа; при висоті відвалу 20 м – 250 кПа; при висоті відвалу 30 м – 375 кПа; при висоті відвалу 40 м – 500 кПа; при висоті відвалу 50 м – 625 кПа). Середній тиск під самим тілом відвалу висотою 10 м становив 250 кПа; 20 м – 500 кПа; 30 м – 750 кПа; 40 м – 1000 кПа; 50 м – 1250 кПа.

Змоделювавши вплив п'яти варіантів відвалів на НДС їх основ у комплексі Plaxis 2D, було отримано такі деформації осідання в точці 4 під центром відвалу (рис. 2): у відвалі висотою 10 м – 0,402 м; при 20 м – 0,793 м; при 30 м – 1,143 м; при 40 м – 1,388 м; при 50 м – 0,777 (програма припинила розрахунок при 77,1% від повного навантаження). Відповідні вертикальні та горизонтальні деформації залізничної колії (точки 1 і 2) при цих варіантах зведені до табл. 6.

Таблиця 6 – Деформації точок залізничної колії при різній висоті відвалу (рівномірно розподілене навантаження)

| | Деформації по осі X, м | Деформації по осі Y, м |
|-----------------------|------------------------|------------------------|
| Висота відвалу - 10 м | | |
| Точка 1 | 0 | 0 |
| Точка 2 | 0 | 0 |
| Висота відвалу - 20 м | | |
| Точка 1 | 0,042 | -0,137 |
| Точка 2 | 0,062 | -0,168 |
| Висота відвалу - 30 м | | |
| Точка 1 | 0,051 | -0,174 |
| Точка 2 | 0,105 | -0,224 |
| Висота відвалу - 40 м | | |
| Точка 1 | 0,052 | -0,21 |
| Точка 2 | 0,105 | -0,281 |
| Висота відвалу - 50 м | | |
| Точка 1 | 0,052 | -0,192 |
| Точка 2 | 0,104 | -0,259 |

Отже, моделювання НДС основи відвалу при представленні його як рівномірно розподіленого навантаження найкраще з-поміж трьох варіантів імітує стан основи відвалу, а також деформації споруди, що розташована поряд (рис. 5). На рис. 6 показано загальні деформації масиву під відвалом.

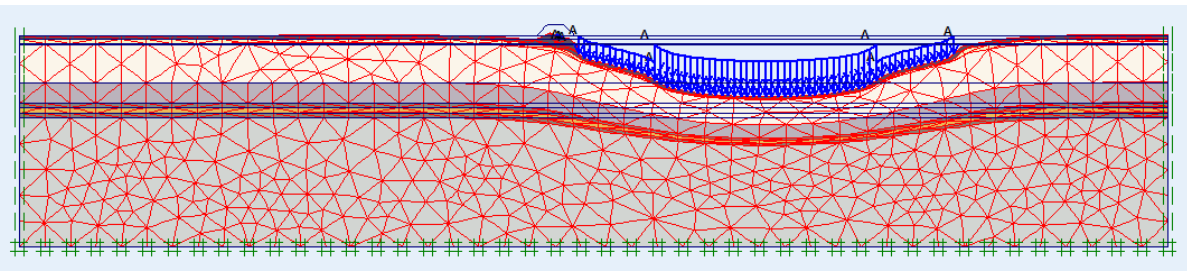


Рисунок 5 – Напружено-деформований стан відвалу (рівномірно розподілене навантаження), висота – 20 м, масштабний коефіцієнт – 1:20

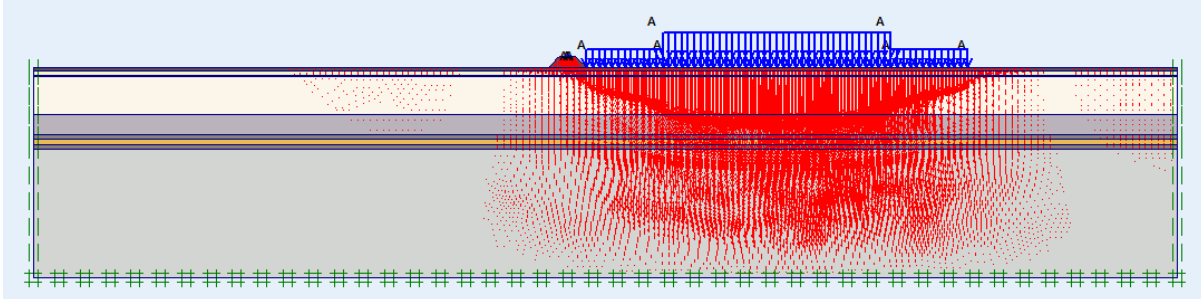


Рисунок 6 – Загальні деформації під відвалом (рівномірно розподілене навантаження), висота – 20 м

Висновки. Отже, використовуючи результати моделювання МСЕ НДС основи відвалів різних за висотою та їх вплив на близькорозташовані споруди, встановлено, що більш коректним порівняно з моделлю Мора – Кулона та еластичною моделлю є представлення матеріалу відвалу як рівномірно розподіленого навантаження.

Література

1. Крутов, В.И. Основания и фундаменты на насыпных грунтах / В.И. Крутов. – М.: Стройиздат, 1988. – 224 с.
2. Металлургия Украины [Электронный ресурс]. – Режим доступа: http://ru.wikipedia.org/wiki/Металлургия_Украины.
3. Металургійна промисловість України [Електронний ресурс]. – Режим доступу: http://ru.wikipedia.org/wiki/Металургійна_промисловість_України.
4. Кушнер, С.Г. Расчет деформаций оснований зданий и сооружений / С.Г. Кушнер. – Запорожье: Запорожье, 2008. – 496 с.
5. Симагин, В.Г. Проектирование и устройство фундаментов вблизи существующих сооружений в условиях плотной застройки / В.Г. Симагин. – М. : Изд-во АСВ, 2010. – 128 с.
6. Улицкий, В.М. Геотехническое сопровождение развития городов / В.М. Улицкий, А.Г. Шашкин, К.Г. Шашкин. – СПб. : Геореконструкция, 2010. – 552 с.
7. Фадеев, А.Б. Параметры модели упрочняющегося грунта программы «PLAXIS» / А.Б. Фадеев // Численные методы расчетов в практической геотехнике: сб. статей научн.-техн. конф. – СПб. : СПбГАСУ, 2012. – С. 13 – 20.
8. Geotechnical engineering 20. View of Young European Geotechnical Engineers. – Brno: Department of Geotechnics, Faculty of Civil Engineering, Brno University of Technology, 2010. – P. 316 – 321.
9. Embankment of transport infrastructure and waste or recycled materials / I. Vaniček, M. Vaniček // XIII Danube-European Conf. on Geotechnical Engineering – Ljubljana, 2007.
10. Оценка надежности армированной грунтовой насыпи автомобильной дороги с помощью пакета Plaxis 2D / Коршунов А.А., Коптяев В.В., Невзоров А.Л., Сажинов А.М. // Тр. междунар. конф. «Геотехнические проблемы XXI века в строительстве зданий и сооружений», 3-5 сентября 2007 г. – Пермь: Астор, 2007. – С. 154 – 160.

*Надійшла до редакції 01.10.2012
© Р.Г. Савенко, Ю.Л. Винников, Р.О. Повзик*